

## Нестационарная трехмерная динамика заряженных сгустков-эллипсоидов

Ю.А. Буданов

*ГНЦ РФ Институт физики высоких энергий, Протвино, Россия*

Получение пучков высокого качества с большими импульсными токами на низкие энергии по-прежнему является проблемой в теории и практике современных линейных ускорителей. Причем токи в ускорителях на низкую энергию, например в RFQ, весьма далеки от предельных и, по существу, ресурсы ускорителей используются далеко не в полном объеме. Рост эмиттанса в RFQ, по-видимому, происходит по всей длине, однако наибольшие негативные изменения в динамике пучка происходят в самом начале ускорения при преобразовании практически нулевого продольного эмиттанса в конечный продольный фазовый объем сгустка. Плотность заряда при этом изменяется в большом диапазоне значений, что необратимым образом сказывается на качестве пучка.

Краткий анализ начала этого процесса проведен здесь на модели самосогласованного сгустка-эллипсоида с равномерным распределением заряда. Конечно, рассмотрение такой простой модели без учета нелинейности собственного и внешнего поля не в состоянии дать адекватное описание динамики, но, как показывает сравнение с численным моделированием [1], полученные здесь результаты дают качественную оценку значений параметров, при которых продольная динамика в сгустке существенно меняется. Удастся отобразить ситуацию, при которой сгусток частиц в процессе увеличения влияния пространственного заряда переходит в качественно новое состояние с удвоенной частотой продольных колебаний, и хотя это состояние впоследствии разрушается из-за нелинейности колебаний, оно влияет на всю последующую динамику.

Для получения простых оценок рассмотрим эллипсоид вращения с поперечными полуосями  $a$ , продольной полуосью  $c$  и зарядом  $Q$ . Внешнее продольное поле будем характеризовать частотой колебаний в нем частицы  $\omega_0$  без учета пространственного заряда. Пусть величина  $a$  пока постоянна и в нашей системе отсчета все частицы первоначально имеют нулевую продольную скорость. Электростатическая энергия такого эллипсоида [2]

$$W_e = \frac{3}{20 \epsilon_0} \cdot \frac{Q^2}{\pi a^2 c} \cdot M_0, \quad (1)$$

где  $M_0 = 2a^2 M_a + c^2 M_c$ ;  $M_a$  – поперечный;  $M_c$  – продольный коэффициент формы эллипсоида. Под воздействием фазирующих сил эллипсоид начнет сжиматься в продольном направлении. При сжатии электростатическая энергия эллипсоида возрастает, в случае сжатия до диска его энергия

$$W_d = \frac{3Q^2}{40\epsilon_0 a}. \quad (2)$$

Следует отметить, что и продольные и поперечные кулоновские силы при сжатии эллипсоида в диск остаются конечными. Рост электростатической энергии идет за счет убыли потенциальной энергии частиц во внешнем поле. Если этот прирост  $\Delta W = W_d - W_e$  приравнять исходной потенциальной энергии сгустка

$$W_{ext} = \frac{m\omega_0^2}{2e} \iiint_V \rho(x, y, z) z^2 dV, \quad (3)$$

то мы получим условие, при котором частицы уже не могут преодолеть центр сгустка. Решение уравнения  $\Delta W = W_{ext}$  есть

$$Q_b = \frac{4\pi\epsilon_0 m \omega_0^2 a^2 c^3}{3e(\pi a c - 2M_0)}. \quad (4)$$

Если перейти от зарядов сгустков к току пучка  $I = Q\lambda/C$  ( $\lambda$  – длина волны ускоряющего поля;  $C$  – скорость света) и ввести традиционную величину  $I_l$  предельного тока, при котором силы кулоновского расталкивания и внешнего сжатия полностью равны, то (4) преобразуется к следующему:

$$I_b = I_l \cdot \frac{M_c}{(\pi a / c - 2M_0 / c^2)}. \quad (5)$$

Итак,  $I_b$  – ток бифуркации, при котором происходит удвоение частоты продольных колебаний и, начиная с которого, частицы более не могут преодолеть центр сгустка. Этот ток существенно меньше предельного, например уже для шара  $I_b = I_l / (3\pi - 6)$ , т.е.  $I_b \approx 0.3I_l$ . Общая зависимость  $I_b / I_l$  от  $c/a$  отражена на рис. 1.

На рис. 2 изображены фазовые траектории одной частицы в сгустке при  $I < I_b$  (а),  $I \approx I_b$  (б),  $I > I_b$  (с). Аналогичным образом можно рассчитать ток, при котором может сжаться до заранее заданного размера.

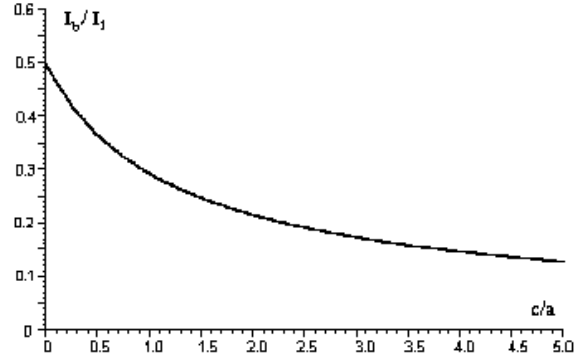


Рис. 1. Зависимость тока бифуркации от геометрии сгустка.

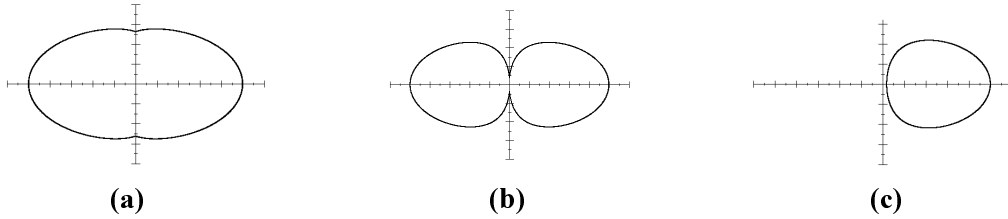


Рис. 2. Фазовые траектории на плоскости  $(z, \dot{z})$  для тока в пучке (а)  $I < I_b$ ; (б)  $I \leq I_b$ ; (с)  $I > I_b$ .

Рассмотрим трехмерный случай. Уравнения движения по всем координатам в RFQ будут следующего вида:

$$\ddot{x} + (Q_x(\tau) - \frac{3r_c^3}{r_x r_y r_z} M_x) x = 0, \quad (6)$$

где  $r_c^3 = I\lambda^3 / I_0\gamma^3$ ;  $I_0 = 4\pi\epsilon_0 m_0 c^3 / e$ ;  $\tau = t/T$ ;  $r_i$  – огибающие;  $M_i$  – соответствующие коэффициенты формы. Если сгусток исходно монохроматичен и в каждом поперечном сечении удовлетворяет микроканоническому (К-V) распределению [3], то из (6) получается система уравнений для огибающих

$$\begin{aligned} \ddot{r}_x + Q_x r_x - \frac{3r_c^3}{r_y r_z} M_x - \frac{F_0^2}{r_x^3} &= 0, \\ \ddot{r}_y + Q_y r_y - \frac{3r_c^3}{r_x r_z} M_y - \frac{F_0^2}{r_y^3} &= 0, \\ \ddot{z}_m + Q_z z_m - \frac{3r_c^3}{r_x r_y} M_z \cdot \text{sign}(z_m) &= 0, \quad r_z = |z_m|, \end{aligned} \quad (7)$$

где  $z_m$  – координата частицы по  $z$ , максимально удаленной от центра. Строгое доказательство (7) следует из функции распределения фазовой плотности, приведенной позднее. В уравнениях (6), (7), (8) при  $r_z \rightarrow 0, z_m \rightarrow 0$  не возникает неопределенности вследствие соответствующего поведения коэффициента формы эллипсоида. В приближении усреднения для полуосей сгустка

$$\begin{aligned} \ddot{a} + \mu_{0,r}^2 a - \frac{3r_c^3}{ac} M_a - \frac{F_0^2}{a^3} &= 0, \\ \ddot{z}_m + \mu_{0,z}^2 z_m - \frac{3r_c^3}{a^2} M_c \cdot \text{sign}(z_m) &= 0, \quad c = |z_m|. \end{aligned} \quad (8)$$

Численный анализ решений (7), (8) показывает, что предсказанное в (5) явление бифуркации имеет место и в общем случае. Существенным различием здесь является то, что точка бифуркации по  $I$  в одномерном примере, превращается в область бифуркации. Это связано прежде всего с тем, что поперечный размер сгустка теперь является переменным.

Вопрос о 6-мерном фазовом распределении, требует отдельного рассмотрения. Здесь лишь кратко наметим путь получения подобного распределения без подробных (достаточно длинных) доказательств. Итак, эллипсоид канонический и уравнения движения разделены по степеням свободы. Тогда продольное движение допускает следующие интегралы:

$$C_1 = z\dot{z}_1 - \dot{z}z_1, \quad C_2 = z\dot{z}_2 - \dot{z}z_2, \quad (9)$$

где  $z_1, z_2$  – линейно независимые частные решения уравнения продольных колебаний. Например, можно выбрать начальные условия для них так:

$$z_1(0) = 0, \quad \dot{z}_1(0) = 1, \quad z_2(0) = -1, \quad \dot{z}_2(0) = 0. \quad (10)$$

При таком выборе  $C_1, C_2$  имеют ясный физический смысл начальных условий  $C_1 = z(0), C_2 = \dot{z}(0)$ . В случае неканонического эллипсоида возможно применение линейных интегралов более общего вида [4]. Если, как в нашем случае, начальные продольные скорости всех частиц равны нулю, то  $C_2 = 0$  и монохроматическая функция распределения

$$f \sim \delta(C_2). \quad (11)$$

Интегралов (9) вполне достаточно для описания продольного движения, но для данной задачи ( $C_2 = 0$ ) для краткости изложения можно ввести дополнительный интеграл

$$C_4 = \frac{z^2 + \dot{z}^2}{z_m^2 + \dot{z}_m^2}. \quad (12)$$

Действительно,  $C_4 \sim C_2$ , а  $C_2 = 0$ , т.е.  $C_4$  – интеграл движения; здесь использовано условие  $z_m(\tau) = -z_m(0)z_2$ . Интеграл  $C_4$  обладает удобными для последующего интегрирования свойствами: на гиперплоскости  $C_2 = 0$  (12) можно преобразовать к двум эквивалентным формам  $C_4 = \frac{z^2}{z_m^2}$  и  $C_4 = \frac{\dot{z}^2}{\dot{z}_m^2}$ .

Первое представление используется для эллипсоида, второе для вырожденного в диск эллипсоида.

Если в каждом поперечном сечении эллипсоида по  $z$  частицы распределены по  $K-V$  распределению, то эмиттанс  $F_0(z)$  в каждом сечении будет зависеть от  $z$  так  $F_0(z) = F_0(1 - z^2/z_m^2)$  или через интеграл движения

$$F_0(z) = F_0(1 - C_4), \quad (13)$$

где  $F_0$  – эмиттанс в центре сгустка. Уравнения поперечного движения (6) явно от  $z$  не зависят, тогда как и в случае чисто поперечного  $K-V$  распределения можно ввести квадратичный интеграл движения [3]

$$F = A_x^2 + A_y^2. \quad (14)$$

Следует, однако, иметь в виду, что интеграл (14) лишь внешне похож на соответствующий ему интеграл из  $K-V$ , поскольку уравнения движения (6) для (14) описывают существенно трехмерную динамику, и влияние продольного движения на поперечное осуществляется параметрически через огибающую  $r_z$ . Приравнявая (13) и (14), получаем, что функция распределения должна быть пропорциональна  $\delta(1 - F/F_0 - C_4)$ . Окончательно 6-мерное самосогласованное распределение имеет следующий вид:

$$f = f_0 \delta(C_2) \delta\left(1 - \frac{F}{F_0} - C_4\right). \quad (15)$$

Остается лишь прямым интегрированием проверить, что (15) приводит в проекции на конфигурационное пространство к равномерно заряженному эллипсоиду.

## Литература

- [1] Yu.A. Budanov, A.V. Zherebtsov. The Dynamics of the Longitudinal Beam Emittance in the RFQ. – In: Proceeding of the International Workshop, BDO, 1994, St.-Petersburg, p. 45-54.
- [2] Р.З. Муратов. Потенциалы эллипсоида. - М.: Атомиздат, 1976.
- [3] И.М. Капчинский. Динамика частиц в линейных резонансных ускорителях. - М.: Атомиздат, 1966.
- [4] Ю.А. Буданов, В.И. Швецов. О решениях уравнения Власова для равномерно заряженного эллипсоидального сгустка. - Труды X Всесоюзного Совещания по ускор. зар. частиц, Дубна, 1987, т. 1, с. 446-447.